

## KÖPEKLERDE KUDUZUN TANISINDA HİSTOPATOLOJİK, IMMUNOPEROKSIDAZ VE İMMUNOFLORESAN YÖNTEMLERİN KARŞILAŞTIRILMASI<sup>X</sup>

Sevil (Atalay) Vural<sup>1</sup>

The comparison of histopathological, immunoperoxidase and immunofluorescence techniques in the diagnosis of rabies in dogs

**Summary:** In the study the tissues of 10 rabies suspected dogs obtained from Pendik and Etilik Veterinary Control and Animal Diseases Research Institutes were used. The results are as follows: The nonspecific inflammatory reactions and degenerative changes detected by histopathologic method as regarding rabies were observed in the central nervous system. Gasserian ganglions and parotid glands (10 cases), adrenal glands (7 cases), and submandibular salivary glands (2 cases). The inclusion bodies were seen in the cornu ammonis and cerebellum (8 cases), thalamus (3 cases), nucleus caudatus and colliculus rostralis (1 case), also in the Gasserian ganglion (2 cases). In the immunoperoxidase staining method, extra and intra cellular rabies virus antigen and/or the inclusion bodies were seen in central nervous system of all dogs and Gasserian ganglion's cell body (9 cases). In addition, they were identified in ganglion cell layer of retina, submandibular salivary gland cells (2 cases), basal cells of cornea, epithelial cells of parotid gland and ductus, Intramural ganglion's cell body, kinocilium and nervous fibers of trachea, principal cells of stomach, plexus of intestine and mouth and nose, urinary bladder's epithelium, cells of hair follicle of ear and mouth skin, cells of nose mucosa, gland cells of nose and mouth mucosa (1 case), and kromatlin cells of adren (6 cases). In the immunofluorescence staining method, the rabies virus antigen was seen in central nervous system of all cases, parotid gland cells and its duct epithelial cells and hair follicle cells of skin (1 case). Equally positive results were obtained from the avidin-biotin peroxidase and indirect immunofluorescence methods which have been used for the first time in the diagnosis of rabies in formalin fixed and paraffin embedded tissues in Turkey. But the immunoperoxidase method appeared to be more advantageous for use in pathology laboratories since this method permitted the usage of high titred sera as well as the usage of more simplified microscopes and the storage of stained slides for a long time.

**Key words :** Rabies, dog, immunoperoxidase, immunofluorescence, histopathology.

**Özet:** Çalışmada Pendik ve Etilik Veteriner Kontrol ve Hayvan Hastalıkları Araştırma Enstitüleri'nden Iemin edilen 10 adet kuduze ait doku blokları incelenmiş ve şu bulgular gözlenmiştir. Yangısal ve dejeneralit bulgular tüm hayvanlarda santral sinir sistemi, Gasserian ganglionu ile parotis bezinde, 7 olguda böbreküstü bezlerinde ve 2 olguda ise submandibular lükürük bezlerinde saptanmıştır. İnlüzyon cisimcikleri 8 olguda komu ammonis ve cerebellumda, 3 olguda thalamus, 1 olguda nukleus caudatus ve kollikulus rostralis, 2 olguda da Gasserian ganglionunun sinir hücrelerinde görülmüştür. Immunoperoksidaz yöntemi ile yapılan incelenmede tüm hayvanların santral sinir sistemi bölgelerinde, 9 olguda ise Gasserian ganglionlarında intra ve ekstrasellüler viral antijen paniküllerine ve/veya inlüzyon cisimciklerine rastlanmıştır. Ayrıca 6 olguda adrenin kromatlin hücrelerinde, 2 olguda retinanın sinir hücrelerinde, submandibular lükürük bez epitel hücrelerinde, trakea kinosilyumları ve epitel hücreleri arasındaki sınırların, 1 olguda komeanın özellikle bazal tabakasındaki epitel hücrelerinde, submandibular lükürük bezinin intramural ganglion sinir hücrelerinde, parotis bez ve kanal epitel hücrelerinde, miderin pränsipal hücrelerinde, idrar kesesi epitel hücrelerinde, ağız, burun ve bağırsaklarda yer alan pleksuslarda, kulak ve ağız derisi kıl follikül epitellerinde, burun mukozası epitel hücrelerinde, ağız ve burun mukozası bez epitel hücrelerinde viral antijen bulunmuştur. İmmunofloresan yöntemele incelenen tüm olgularda santral sinir sisteminin her bölgesinde ve Gasserian ganglionunda, 2 olguda retinanın sinir hücreleri, 1 olguda parotis bez ile kanal epitel hücrelerinde ve derinin kıl follikül epitellerinde viral antijeni belirleneyen immunofloresan pozitif granüler bulunmuştur. Bu çalışmada ülkemizde kuduzun tanısında ilk defa formol lesbilili parafin bloklarda kullanılan avidin-biotin peroksidaz ve indirekt immunofloresan yöntemlerden eşil pozitif sonuç alınmıştır. Ancak yüksek titreli serumlarla çalışılması, özel mikroskoba ihtiyaç duyulmaması ve boyanan preparatların uzun süre saklanması nedeni ile immunoperoksidaz yönteminin patoloji laboratuvarlarında kullanılma avantajının daha fazla olduğu düşünülmüşür.

**Anahtar kelimeler :** Kuduz, köpek, immunoperoksidaz, immunofloresan, histopatoloji.

## Giriş

Kuduz (lyssa, rabies, lollwul, rage) insan ve kanatlılar dahil tüm sıcak kanlı hayvanlarda, santral sinir sistemi bulgulayla ortaya çıkan akut seyirli, viral bir hastalıktır (Buxton ve Fraser, 1977; Blood ve ark., 1983; Shannon ve ark., 1988; Andrews ve Walton, 1990). Tehlikeli bir zoonoz olduğu için önem laşır.

Hastalığın tedavisi yoktur, önlem alınmadığı taktirde daima ölümle sonuçlanır. Aşılama ile alınan lek önlem ise hastalığı bulaştıran hayvanın gerçekten kuduz olup olmadığını en kısa zamanda ve en güvenilir yöntemle ortaya çıkarmasına yani teşhisine bağlıdır. Hastalığın tanısı Seller boyama, histopatolojik inceleme, fare deneme inokulasyonları ve immunohistokimyasal yöntemlerle yapılır. Seller boyama ve histopatolojik incelemelerde kornu ammonis'eki nöronlar ile cerebellum'daki Purkinje hücrelerinde intrasitoplazmik inkluzyon cisimciklerinin (Negri) görülmesi patognomonik olarak kabul edilir (Blood ve ark., 1983; Jones ve Hunt, 1983; Jubb ve ark., 1985; Ulrich ve ark., 1985). Ancak Seller boyamanın % 69-100, histopatolojik incelemenin ise genellikle % 50-80 oranında pozitif sonuç vermesi güveniligi sarsılmıştır (Goldwasser ve Kissling, 1958; Alanasiu ve ark., 1971; Koprowski, 1973; Tanzer, 1976; Anjaria ve Jhala 1985; Kotwal ve Narayan, 1987). Deneme inokulasyonlarının doğruluk oranı % 94-100 olmakla beraber uzun bir süreye (6-30 gün) gereksinim vardır (Meerdink, 1969; Kotwal ve Narayan, 1987; Zimmer ve ark., 1990; Ademoğulları, 1992). Birçok laboratuvara uygulanan immunofloresan (IF) yöntemiyle kısa zamanda hastalığın tanısında % 87-100, immunoperoksidaz (IP) yöntemiyle % 87-98 gibi pozitif sonuç alınmıştır (Anjaria ve Jhala, 1985; Kotwal ve Narayan, 1985; 1987; Jayakumar ve ark., 1989; Zimmer ve ark., 1990). Immuno Floresan antikor yöntemi (FAT) en uygun yöntem olmakla beraber, pahali ekipmana gerek duyulması nedeniyle dezavantajıdır. Bu yüzden birçok hastalıkta olduğu gibi kuduzun tanısında da immunoperoksidaz yöntemi kullanılmaya başlanmıştır (Genovese ve Andral, 1978; Jayakumar ve ark., 1989).

Ülkemizde sıkılıkla raslanılmamakla birlikte kuduz hastalığının tanısı, immunofloresan yöntemin uygulandığı birkaç laboratuvar hariç Seller boyama, histopatolojik incelemeler ve farelerde deneme inokulasyonlarına dayanmaktadır. Bu çalış-

mada hastalığın tanısında histopatolojik, parafin blok kesitlerinde IP ve IF yöntemlerin değerlendirilmesi ve IP yöntemin laboratuvara kullanılıp kullanılmayacağının araştırılması amaçlanmıştır.

## Materyal ve Metot

**Çalışma malzemesi.** Pendik ile Etilik Veteriner Kontrol ve Hayvan Hastalıkları Araştırma Enstitüleri'nde nekropsileri yapılan 10 adet erkek köpeğin doku örnekleri ile Ankara Üniversitesi Veteriner Fakültesi Patoloji Anabilim Dalı arşivinden temin edilen kuduz müsbat 30 köpeğin kornu ammonis ve cerebellum'lara ait doku bloklarından temin edildi.

Nekropsileri yapılan hayvanların santral sinir sistemi (kornu ammonis, nukleus caudatus, larnus, kollikulus rostralis, pons serebri, cerebellum'un vermis, medulla spinalis, medulla oblongata), Gasserian ganglionu, parotis ve submandibular rükürük bezleri, mukoza ve deriden geçecek şekilde ağız ve burun kanadı, tonsiller, göz, ağız çevresi ve kulak derisi, larinks, trachea, akciğerler, kalp, ortalık, karaciğer, safra kesesi, böbrekler, adrenler, pankreas, mide, ince bağırsaklar, retrofaringeyal ve mezenteriyel lenf düğümleri, idrar kesesi ve testislerinden alınan doku örnekleri % 10'luk tamponlu formolde tesbit edildi ve parafinde bloklandı. Her paralın bloktan 4-6 mikron kalınlığında alınan kesitler (aynı bloktan 4 kesit) histopatolojik incelemeler, immunohistokimyasal yöntemler ve kontrol için kullanıldı.

**Histopatolojik incelemeler :** Kesitler Hämatoxilin-Eosin (HE); beyinde spongöz değişiklikle karşılaşıldığı durumlarda da myelin yıkımının saptanması amacıyla luxol fast blue ile boyandı (Luna, 1960).

**Immunoperoksidaz incelemeler :** Bu yöntemde Shandon'ın antirabbit universal kitinden (Katalog no : 407300 / Pittsburgh) faydalananlar Avidin-Biotin Peroksidaz (ABC) yöntemi ile dokularda viral antijenler saplandı. Bu amaçla rutin olarak hazırlanan paralın bloklardan adhezivli lama alınan kesitler 10 dakika 48°C'lik etüvde kurululdu; ksilollerde deparalinez edildi 100, 96, 80 ve 70% lik alkol serilerinden de geçirilerek dehidre edildi. Üç kez beş dakika PBS (Phosphat Buffer Saline) içinde yıkandıktan sonra % 0.02 kalsiyum diklorit ihliva eden % 0.25'lik tripsin solüsyonunda tripsinize edildi ya da aynı amaç için kullanılan % 0.1'lik pronaz so-

lüssyonuna konularak 45°C'lik etüvde 30 dakika bekletildi. Üç kez beşer dakika PBS içinde yıkandı. Oda ısısında 5 dakika % 3'lük hidrojen peroksitte tutuldu ve 2 kez PBS içinde beşer dakika yıkandı. Kesitler nemli kamaraya alındı ve üzerlerine normal keçi serumu damlatıldı 20 dakika 45°C'lik etüvde bekletildi. Serum döküller hiperimmun serumla<sup>1</sup> (1/500 sulandırma) 45°C'lik etüvde 2x20 dakika inkube edildi. Kesitler 2 kez PBS içinde 5 dakika yıkandı. Biyotinize sekunder antikor damlatılarak nemli kamara içinde 45°C'lik etüvde 20 dakika tutuldu. PBS içinde beşer dakika 2 defa yıkanan kesitler, üzerlerine % 1.2'lük hidrojen peroksit damlatılarak bu kez oda ısısında 20 dakika bekletildi. Bundan sonra Streptavidin-peroksidaz damlatıldı 45°C'lik etüvde 20 dakika tutularak yeniden PBS'ye yıkandı. Nihayet kesitler 3-amino-9-etilkarbazol (AEC) 7 dakika tutulduktan sonra 2 kez 5 dakika deionize suda yıkandı ve Mayer's hematoksiilen boyasında 1 dakika tutulup çesme suyu altında yıkandı ve kapatıldı.

**İmmunofloresan incelemeler :** Bunun için indirekt immunofloresan yöntemi uygulandı. Kesitlerin boyamaya hazırlanmasında uygulanan deparalinizasyon, dehidratasyon ve tripsinizasyon işlemleri burada da peroksidaz yöntemindeki sırayı izledi. Kesitler aynı hiperimmun serum<sup>1</sup> (1/100 sulandırma) ile 45°C'lik etüvde, nemli kamarada 2x20 dakika inkube edildikten sonra 3 kez beşer dakika PBS ile yıkıp üzerlerine keçide tavşan IgG'sine karşı hazırlanıp fluorescein isothiocyanate (FITC) ile işaretlenmiş anti-tavşan hiperimmun serum konjugatından (Sigma-F 6005) damlatıldı. Yeniden 45°C'lik etüvde 30 dakika tutuldu. Bu ikinci inkubasyondan sonra PBS ile yıkanan kesitler kapatıldı. Çevreleri parafin ile kaplanarak inceleninceye kadar buzdolabında saklandı.

**İmmunoperoksidaz ve immunofloresan yöntem için hazırlanan kontrol preparatları** da aynı prosedüre göre boyandı. Ancak hiperimmun serum yerine normal tavşan serumu kullanıldı.

### Bulgular

Nekropsileri yapılan hayvanların tümünde hastalığı tanıtlı makroskopik bulguya rastlanmamıştır.

**Histopatolojik Bulgular :** Bütün olgularda sinir sisteminde hiperemiyile karşılaşıldı. Lep-

tomeningeal ve Virchow Robin boşluklarındaki damarlarda çoğunluğu lenfosit, az sayıda makrofaj ve tek tük de plazmاسلardan oluşan mononükleer hücre infiltrasyonu görüldü (Tablo 1, Şekil 1). Bünler kornu ammoniste halif, sinir sisteminin diğer kesimlerinde ise orta veya şiddetli derecedeydi. Tüm olgularda, yoğunluk piramidal hücre bölgesi olmak üzere kornu ammonis, cerebellum, talamus (Şekil 2), pons cerebri, kolikulus rostralis, nukleus caudatus, medulla oblongata ve yoğunlukla da dorsal kornuları olmak üzere medulla spinaliste diffuz veya fokal olarak değişik derecede glia hücre proliferasyonu görüldü. Belirtilen bölgelerdeki bazı nöronlarda dejeneratif ve nekrotik değişiklikler şekillenmiş (Şekil 2 ve 3). Böyle nöronlar çekirdekerini kaybetmiş, düzensiz kenarlı ve soluk pembe renkli sitoplazmaya sahipti. Bazılarının çevresini glia hücreleri çevrezip satellitosis şekillenmişti. Bir kısmı ise nöronofagiye (Şekil 2 ve 4) uğrayarak yerlerini, nöron kalıntıları ile glia hücrelerinin bulunduğu odaklara veya tamamen fokal glia hücrelerinden oluşmuş Babes nodülleri terk etmiştir.

Intrasitoplazmik inkuzyon cisimciklerine çoğunlukla kornu ammonis (Şekil 5) ve cerebellumda (Şekil 6) rastlandı. Bnlardan 6 olayda her ikisinde, ikişer olayda ise yalnız birinde lokalize olmuştu. Bnlarla birlikte talamusta 3, kolikulus rostralis (Şekil 3) ve nukleus caudatusda birer, Gasserian ganglionunda da 2 olayda inkuzyon cisimciği vardı. Bnlar değişik büyüklükte, oval veya yuvarlak şekilli, pembe renkli olup kırısının çevresinde açık renkli dar bir alan bulunuyordu ve bir hücrede genellikle tek bazen birden fazlaydılar. İnceleme sırasında bazı cisimciklerin akson veya dentritlere doğru uzandığı da görüldü.

Bir olayda kolikulus rostraliste (Şekil 3), 2 olayda da Gasserian ganglionundaki bazı nöron sitoplazmalarında vakuoller dikkat çekti. Ayrıca ikişer olayda cerebellum ve kolikulus rostralis substantia albasında, 3 olayda da nukleus caudatusun substantia alba ve griseasında fokal alanlar halinde, sınırlı ve içleri boş spongöz değişiklikler fark edildi. Luxol fast blue ile boyamada bunlar, mavi renk alan miyelinize alanlar arasında, boyalı mavi boşluklar halinde görüldü. Cerebellumda bu bölgeler, ayrıca diffuz dağılım gösteren hafif glial hücre artışı ve damarlar çevresinde de belirgin mononükleer hücre infiltrasyonıyla bezenmişti.

Yukarıdaki bulgular dışında, 2 olayda kornu

<sup>1</sup> Dr. Alex Wandeler aracılığı ile Centre of Expertise for Rabies, Agriculture Canada Animal Disease Research Institute Nepean, Ontario'dan temin edilmiştir.

ammonisin korteks serebrisinde. 1 olguda kollikulus rostraliste meninkslerin altında, 3 olguda nukleus kaudatusun substantia alba ve grizeasında, 2 olguda da Gasserian ganglionundaki aksonlar boyunca kanama alanlarına rastlandı. Ayrıca tüm olgularda Gasserian ganglionunda değişik şiddette dejeneratif değişiklikler ile bazı sahalarda hem sinir hücreleri etrafında hem de aksonlar boyunca aralarında az sayıda makrotaş ve tek tük de plazmasitlerin bulunduğu yoğun lenfosit infiltrasyonu lâk edildi (Tablo 1).

Sekiz olguda paroliste bazı bez lümenlerinin seçilemediği ve epitel hücrelerinin hacimce azaldığı, bez kanallarının eozinosilik kitleyle dolduğu saptandı. Bir hayvanın kanal epitelleri kısmen hiperplazikti ve etraflarında da aralarında nötrofil lökositlerin de bulunduğu lenfosit hücre infiltrasyonu gözlandı. Stroma hâlit odemliydi.

Submandibular tükürük bezlerinde 2 olguda bez ve kanallar çevresinde hâlit şiddette lenfosit infiltrasyonuna rastlandı. Bunlardan birinde ayrıca kanal epitelleri de hiperplazikti ve interlober intersitisumda birkaç ganglion hücresinin kenarlarının düzensiz, siloplazmasının soluk veya homojen koyu pembe renge boyandığı, çekildeğinin kaybolduğu, bir kısmının nöronofajiyé uğradığı, kısmen sağlam kalanların çevresinde ise satellitosis şekillendiği dikkatli çekli.

Yedi köpekte böbreküstü bezlerinin medullasında çoğunlukla lenfositlerden ibaret mononükleer hücre infiltrasyonuya karşılaşıldı. Bunlardan ikisinde konikal ve meduller bölgelerde geniş kanama alanları görüldü. Ayrıca bunların birinde aksesuar konikal nodüller vardı. Yine 1 hayvanda periadrenal ganglionlardaki sinir hücreleri arasında da mononükleer hücreler bulundu.

Bunlar dışında, 1 köpekte gözün retinasının optik sinir telleri katında mononükleer hücre artışı ve ödem, lâkli 2 köpekte ise lokal kanama alanları görüldü. Bir hayvanda enteritis, mide ve miyokartia lokal mononükleer hücre infiltrasyonu, fokal non-purulent intersitisyal nefritis, idrar kesesi epitel hücrelerinde hidropik dejenerasyon, tonsillerdeki lenmoid folliküllerde kanama ve nekroz, burun submukozasında kanama, 2 olguda da akciğerde ödem, intersitisyal prömoni, lenf düğümündeki folliküller ile dalaklı perianteriyel lenfoid dokularda, pankreasta ise akritici kanal epithellerinde hiperplaziye rastlanmışsa da bunlar hastalığın tanılıcı bulguları arasına katılmamıştır.

**Immunoperoksidaz Bulguları : Immunoperok-**

sidaz boyamalarda, bütün olgularda kornu ammonis (Şekil 7), serebellum (Şekil 8), talamus (Şekil 9), pons serebri, kollikulus rostralitis, medulla oblongata (Şekil 10), medulla spinalis ve nukleus kaudatusdaki (Şekil 11) nöronların birçoğunun siloplazma, akson, dendritleri ile bunların nöropillerinde; 9 olguda da Gasserian ganglionu (Şekil 12) hücrelerinde viral antijen varlığını gösteren, tuyla kırmızısı-kahverenginde, değişik büyüklükte, granüler yapıda, IP pozitif reaksiyon görüldü. HE ile boyamada bildirilen bölgelerde görülen inkluzyon cismickiler ise daha büyük, keskin sınırlı, açık sarı renkli homojen bir matriksle, tuyla kırmızısı granüller içeren yapıda veya granülsüz, difuz kahverengi renktedir. Bunun dışında kalan ve az antijen içeren nöron siloplazması ise homojen solgun sarı renge boyanmıştır.

Kornu ammoniste IP pozitif hücreler daha çok piramidal polimorf sinir hücreleriyle moleküler labakadaki küçük hücrelerdeydi. Öte yandan aksonların aksoplazmasında da antijen varlığını belgeleyen IP pozitif lesbih tanesi gibi sıralanmış granüller görüldü. Yine bu yöntem aracılığıyla antijen içeren benzeri granüller ve birkaç inkluzyon cismicigi, nöropil ile polimorf sinir hücreleri içinde de saptandı.

Serebellumda da viral antijen varlığını kârexactayan IP pozitif reaksiyonla karşılaşıldı. Bunlar Pürkinje hücrelerinde az sayıda, IP pozitif küçük granüller yapıda görülürken stratum granulosumda sinir hücrelerinin etrafında loz serpilmiş gibi çok sayıda, sınırlı boyamalardan ibaretti. Ayrıca serebellar pedinkül nöronları ile serebellum, talamus, pons serebri, kollikulus rostralitisin nöronları ve bazen de subsansia albalardaki glia hücrelerinin etrafında ya loz serpilmiş ya da lapa gibi çok sayıda ve sınırlı IP pozitiflik saptandı. Nukleus kaudatus, medulla oblongata ve medulla spinalisteki akson ve dendritlerde görülen pozitiflik, sayı ve boyanma derecesi bakımından orta derecedeydi. Dokuz olguda Gasserian ganglionundaki nöron ve bazen de sinir tellerinde pozitif reaksiyonla karşılaşıldı. Bunlardan 6 olguda perikaryonda orta şiddette bir reaksiyon karakterindeyken, 3 olguda nöronlarda ve daha çok da sinir telleri boyunca diffuz soluk sarı renkli zayıf IP pozitiflik saptandı (Tablo 1).

Histopatolojik değişikliğe sahip 6 olguda böbreküstü bezlerindeki kromaffin hücrelerinde, göz retinasındaki birkaç nöron siloplazması ile 1 hayvanın kornbasında ve çoğunlukla bazal epithel hücrelerinde, 2 olguda submandibular tükürük bez-

lerindeki seröz bezler ile bunların inter ve interlobüler kanal epitellerinin sitoplazmasında ve ayrıca bunlardan birinin ganglion hücreleriyle sinir tellerinde. 2 olguda trakeyadaki epitellerin kinosiyumlarında ve bazı epitel hücreleri ile sinaps yapan sinir tellerinde, birer olguda da parotisin bazı bez ve interlobüler kanal epitel hücrelerinde, mindenin birkaç prensipal bez hücresi sitoplazmasında, bağırsakta sinir pleksuslarında, idrar kesesinde epitel hücresinin sitoplazmasında çekirdeğin bir kenarına yakın yerleşmiş konumda ve üzüm salkımı şeklinde, kufakla kıl lollikülü epitel hücrelerinin sitoplazmasında ve sinir demetlerinde; ağız bez epitellerinin sitoplazmasında ve sinir telilerinde, burunun vestibular bölge kuran mukozası epitel hücre sitoplasmalarında ve sinir tellerinde diffluz veya granüler şekilde tuğla kırmızısi-kahverengimsi IF pozitif reaksiyona rastlanarak kuduz viral antijeni saptandı.

**Immunofloresan Bulgular :** Immunofloresan boyamalarda 10 olguda kornu ammonisde hem ekstrasellüler hem de piramidal (Şekil 13) ve Orients katmanıındaki sinir hücrelerinin sitoplazması, akson ve dendritlerinde, serebellumda Pürkinje hücreleri (Şekil 14) ile serebellar pedinkül ve striatum granulozum hücrelerinde, ayrıca talamus (Şekil 15), pons serebri, kollikulus rostralis, medulla oblongata (Şekil 16) ve medulla spinaliste sinir hücrelerinin sitoplazma, akson ve dendritlerinde IF yöntemine göre daha az sayıda, granüler yapıda, parlak yeşil renkle boyanan IF pozitif viral antijenler gözlandı. Ancak medulla spinalis ve nukleus kaudatuslu boyanmalar beyinin diğer bölgelerine göre daha az ve diffluz, soluk yeşil renkle olup medulla spinaliste çoğunlukla çekirdek etrafında yoğunlaşan parlak yeşil renk ve granüler şeklindeydi. Nukleus kaudatusla (Şekil 17) ise IF pozitif viral antijenler çoğunlukla periferde yakın nöron sitoplazmasında lokalize olmuştu. Sekiz olguda kornu ammonis ve serebellumda, 3 olguda talamus ve nukleus kaudatusla, 1 olguda ise kollikulus rostraliste saptanan inkluzyon cisimcikleri diğer viral antijenlere göre daha büyük, sınırlı ve parlaklı (Tablo 1).

Tüm olgularda serebellumun substantia alba arasında intra ve ekstrasellüler parlak yeşil renkli, Gasserian ganglionunda ise sitoplazmada soluk yeşil renkle boyanan granüler yapıda, bunlardan 3 olguda da inkluzyon cisimcığı görünümünde parlak yeşil renkli IF pozitif viral antijenler saptandı. Gasserian ganglionunda benzer granüler antijenler hücre membranına yakın (Şekil 18), adeta bir çi oluşturur şekilde satelliit hücrelerinde de görüldü.

İkişer olguda retinada yer alan birkaç nöronun perikaryonunda, birer olguda da parotisin bez epitel hücrelerinde, kulak ve ağız çevresinden yapılan kesitlerde ise kıl foliküllerinin etrafında parlak yeşil renkte IF pozitif viral antijenler saptandı.

#### Arşiv doku blokları

Histopatolojik incelemelerde 30 hayvanın 27'sinde kornu ammonis ve serebellumda değişik şiddette encefalitis veya meningoencefalitis gözlandı. Kornu ammonisin piramidal, serebellumun Pürkinje hücre bölgesinde glia hücre proliferasyonu, nöron dejenerasyonları, nöronolaji ve az sayıda Babes nodülü dikkat çekti. Olguların 26'sında ise bu hücrelerde Negri cisimciklerine rastlandı. Negri cisimcigi görülmeyen, ancak Etilik Veteriner Kontrol ve Hayvan Hastalıkları Araştırma Enstitüsü'nce IF yöntemiyle boyanan tuş preparatları pozitif olduğu bildirilen 4 olgunun birinin serebellumda Negri cisimcığı bulundu.

Arşivden elde edilen kornu ammonis ve serebellumlarla, nekropsileri yapılan hayvanların adı geçen organlarından alınan kesitlerin IF ve IF yöntemi ile boyanan kontrol kesitlerinde immunopozitif sonuç alınamamıştır.

#### Tartışma ve Sonuç

Kuduzun histolojik tanelarında ilk aşama, santral sinir sisteminde özellikle serebrum, beyin stemi, serebellum, bunun dışında da medulla spinalis ve Gasserian ganglionunda nonpurulent meningo-encefalitis veya encefalitiden ibaret bir değişikliğin belirlenmesidir (Fischman, 1969; Feiden ve ark., 1988; Zimmer ve ark., 1990; Hamir ve ark., 1992). Değişikliklerin şiddet ve lokalizasyon sırası, carnivorda serebrum, kornu ammonis, talamus, kısmen de serebellum, pons ve medulla oblongata da yer alırken, herbivorlarda bunun tam tersi yönde geliştiği bildirilmiştir (Palmér ve ark., 1985). Her iki hayvan türlerinde olayların % 42'sinin pons ve medulla oblongata da daha şiddetli olduğunu belirten bildirimler (Zimmer ve ark., 1990) yanında, bunu taraflarda dikkate değer bulmayan görüşler de kaydedilmiştir (Negri, 1903). Veriler çerçevesinde değerlendirilen hayvanların tüm sinir sisteminin her bölgesinde ve özellikle de kornu ammonis, serebellum, talamus, pons, kollikulus rostralis, nukleus kaudatus, medulla oblongata, medulla spinalisin dorsal ganglionları, ayrıca Gasserian ganglionunda değişik şiddette yangusal reaksiyonla karşılaşılmıştır.

Nöropildeki vakuollere ilkin 1984'te hastalığın histomorfolojik bulguları arasında degenilmiştir (Charlton, 1984). Deneysel olaylarda kokarca, tilki, doğal olaylarda da bunlara ek olarak at, kedi, inek ve koynularda hastalığın 2-3. günlerinde veya daha erken dönemde sık ve şiddetli olarak beynin talamus ve serebral korteksinde rastlandığı, ayrıca bölgedeki nöronlarda da vakuoller şekillendiği kaydedilmiştir (Charlton, 1988). Nöropilde luxol fast blue ile daha iyi seçilebilen vakuolleşmeyle karak-terize spongiform manzaraya, 2 olguda cerebellum, cerebellar pedinkül ve kollikulus rostraliste, 3 olguda da nukleus caudatusda rastlanmıştır. Ayrıca birer olguda kollikulus rostralis ve Gasserian ganglionlarında nöronların perikaryonunda vakuoller görülmüştür.

Benzeri vakuoller, spongiform encefalopati ve diğer viral enfeksiyonlarda da gözlenmiştir (Johnson, 1983; Bundza ve Charlton, 1988; Foley ve Zachary, 1995). Bu bakımından incelemede saptanın bu değişikliğin, tanışsal dejere sahip olmadığı düşünülmüştür. Immunsuprese kortikalarda da bulunduğu, etiyolojisinde immun reaktif olayların yer almadığı da bildirilmiştir. Ancak, çeşitli yoldan şekillenen dejenерatif olaylarda, metabolizma faaliyetleri ve sıvı akışını düzenleyen astrositlerin etkilenmesinin yanında sıvı toplanmasına sebep olduğu ve bu yoldan myelin lamellerinin ayrılarak sekunder demiyelinasyonun şekillendiği klasik bilgiler arasında ifade edilmiştir (Charlton, 1988). Incelemede nöropildeki vakuollerin de böyle bir nedenden kaynaklanabileceği düşünülmüş ve bazı çalışmalarında orta derecede nötrofil infiltrasyonuyla birlikte cerebellar nekrozdan da söz edilmesi (Sung ve ark., 1976; Fekadu ve ark., 1988b; Jackson ve ark., 1989) bu izlenimi güçlendirmiştir.

Sistemik incelemeler sırasında, diğer organ ve dokularda da yangusal veya distrofik değişikliklerin bulunacağı, beyinde yangusal değişiklik olmasa da Gasserian ganglionunda rastlanabilecegi belirtilmiştir (Jubb ve ark., 1985; Hamir ve ark., 1992). Yine bu bağlamda parotiste atrofi ve hiperplaziyle birlikte intersitisyumda mononükleer hücre infiltrasyonundan (Ninomiya, 1955) söz edilmiş, benzeri hücre infiltrasyonunun hafif nekrotik değişikliklerle birlikte submandibular tükürük bezinde (Ninomiya, 1955; Balachandran ve Charlton, 1994) veya hiperemiyle birlikte adrenal bez medullasında da bulunacağı ve yanının göz ile deride belirgin olduğu (Balachandran ve Charlton, 1994) kaydedilmiştir, derinin kıl folliküllerinde yangusal hücre infiltrasyonu (Fekadu ve Shaddock,

1984) gözlenmiştir. Çalışmada da parotis, submandibular tükürük bez ve adrenal medullada buna benzer değişiklikler dikkat çekmiş özellikle hayvanların tümünde Gasserian ganglionunda yangusal reaksiyon görülmesi bu verileri destekler nitelikle bulunmuştur. Ayrıca, 1 köpekte göz retinasında ödem ve optik sinir telleri arasında mononükleer hücre infiltrasyonu, bir diğerinde fokal kanama nonspesifik bulgu olarak değerlendirilmişse de virusun çoğu kez gözde de bulunacağı düşünüldüğünde yukarıdaki değişiklikler arasında hesaplanması gereği araştırmaları bırakılmıştır. Kuduz olaylarında esas hesaba katılmaması gereklenlerin entritis, karaciğerde nekroz, fokal nonsuppuratif kolangitis ve bronşitis, intersitisyal miyokarditis, pnömoni, böbrekte nefritis ve mineral madde birikimi gibi hastalıkla ilgili olmayan nonspesifik bulgular olduğu bildirilmiştir (Castillon 1973; Fekadu ve Shaddock, 1984; Woolf ve Smith, 1986). Nitekim, inceleme sırasında birer olguda bağırsak, mide, miyokart, böbrek, idrar kesesi, tonsil, burun muğozası, 2 olguda akiçiger, lenf düğümleri ve dalakta karşılaşılan değişikliklerin hastalıkla ilgili olmadığı düşünülmüştür. Ancak böyle bulguların dikkatleri başka yöne çekip, tanıyi güçlendirdiğini de göz önüne almak gereklidir.

Histolojik tanıyi kesinleştiren patognomonik bulgu, intrasilioplazmik Negri cisimciklerinin görülmesidir (Negri, 1903). Negri cisimciklerinin çoğu kez kannivorda pons, medulla oblongata ve özellikle de kornu ammoniste; herbivorda ise pons ve medulla oblongata yanında özellikle cerebellumda lokalize olduğu, nadiren glia hücrelerinde de görüldüğü ifade edilmiştir (Fekadu ve ark., 1982; Jubb ve ark., 1985; Palmer ve ark., 1985; Hamir ve Rupprecht, 1990; Zimmer ve ark., 1990; Hamir ve ark., 1992). Bildirimlerin aksine Negri cisimciklerinin, incelenen 10 köpektenden altısında hem kornu ammonis, hem cerebellumda, ikişer olguda yalnız birinde, 3 olguda talamus, birer olguda da nukleus caudatus ve kollikulus rostraliste bulunduğu gözlenmiştir. İnlüzyon cisimciklerinin cerebellumdaki miktarının, komu ammonisten farklı olmadığı, pons, medulla oblongata ve glia hücrelerinde ise hiç yer almadığı görülmüştür. Bir kısım literatür bildirimlerini (Jubb ve ark., 1985; Zimmer ve ark., 1990; Hamir ve ark., 1992) de destekleyen bu bulgular, histolojik tanı için alınacak beyin örneklerinin seçiminde hayvan türü göz önüne alarak birkaç bölgeye odaklanmanın hatalı olduğunu, özellikle köpeklerde kornu ammoniste birlikte cerebellumun da alınması gerektiğini göstermiştir.

Inkluzyon cisimciklerinin sinir sistemi dışında daha çok Gasserian ganglionunda, bazen de pankreas, dil, adrenal bez, paraadrenal bez ganglionları, retina (Jubb ve ark., 1985; Hamir ve ark., 1992) ile duodenumun submukozal pleksusunda (Hamir ve ark., 1992) bulunacağı kaydedilmesine karşılık, incelemede yalnız 2 olguda Gasserian ganglionunda inkluzyon cisimcikleri görülmüştür. Bu sonuçlar da inkluzyon cisimciklerinin sinir sistemi dışında her olguda görülmesinin şart olmadığını ve tanıda fazla önemi bulunmadığını düşündürmüştür. İnsan ve evcil hayvanlardan elde edilen sonuca göre, Negri cisimciklerinin bulunduğu oranının % 97'ye vardıgı, deneysel fare inokulasyonlarında % 99'a çöküğü ve olayların % 80'inde yangının da bulunduğu ilade edilmişdir (Ademoğulları, 1992). Ancak, incelenen köpeklerin 10'unda yangıya rastlanmasına karşılık, bunlardan 8'inde inkluzyon cisimcigi bulunmuş, 30 kuduz olgusu olarak değerlendirilen arşiv bloklarında ise 27 yangısal olayın 26'sında Negri cisimcigi görülmüştür. Inceelenen materyal sayısının azlığı dikkate alınmakla birlikte, inkluzyon cisimcigi miktarı ile yangısal olayların her zaman aynı şekilde bağdaşmadığı düşünülmüştür. Nitelikim, Negri cisimciklerinin yangısal değişikliklerle birlikte bulunduğu oranının genelde % 53 olduğu belirten veriler (Zimmer ve ark., 1990) de bu durumu destekler niteliktedir.

Çalışma ve literatür bilgilerinden çıkan sonuca göre histopatolojik tanıya yangısal reaksiyonların belirlenmesiyle değil Negri cisimciklerinin saptanmasıyla varılacağı görülmüştür. Yukarıda da belirtildiği gibi bunun da her olayda şekeitenmeyeceği, yangısal değişikliklerin de diğer nonspesifik morfolojik değişiklikler yüzünden yanlışlıkla düşüleceğiz kanısına varılmıştır. Bu nedenden birçok çalışmada birleşilen ortak nokta, sağlıklı histomorfolojik tanıının immunohistokimyasal yöntemler uygulanarak dokuda virus antijeninin tespitiyle mümkün olacağıdır (Zimmer ve ark., 1990).

Histokimyasal yonden dokuda spesifik kuduz virus antijenin tespiti IP (Levadit ve ark., 1971) ve IF (Goldwasser ve Kissling, 1958) yöntemleriyle sağlanır. Floresan antikor yöntemi, floresen ile bağlanmış antikor aracılığıyla taze olarak tuşe ve dondurulmuş (Goldwasser ve Kissling, 1958; Marie, 1962; Kawamura, 1977), gliserinde saklanmış (Bamard ve Voges, 1992), etanol ya da asetonda likse edilmiş (Goldwasser ve Kissling, 1958; Marie, 1962; Fischman, 1969; Palmer ve ark., 1985) doku kesitlerinde viral antijenin saptanması için uygun bir yöntemdir. Ancak enfekte

taze dokulardan hazırlanan smearler akif virus içerdiginden lehlikeli görülmüşür (Wachendorfer, 1967; Fischman, 1969). Bu nedenle formolde likse edilmiş parafinde bloklanmış doku kesitlerinde virus antijeninin saptanmasına yönelik çalışmalara yer verilmiştir. Bu, aynı zamanda dokuların uzun zaman saklanmasına da olanak verip retrospektif çalışmalarda avantaj sağlar (Umoh ve ark., 1985; Hamir ve Rupprecht, 1990; Hamir ve ark., 1995). Dokunun morfolojik görünümü seçildiğinden viral antijen veya inkluzyon cisimciklerinin doku ve hücrede dağılımı kolaylıkla belirlenir (Goldwasser ve Kissling, 1958; Atanasiu ve ark., 1971; Fischman, 1969; Kotwal ve Narayan, 1985, 1987; Zimmer ve ark., 1990).

Anjaria ve Jhala (1985) paralın kesitlerde indirekt IF yöntemi uygulayarak pozitif olayların % 87-97 arasında değişeceğini göstermişlerdir. Diğer çalışmalarda bu oran % 98-100'dür (Kotwal ve Narayan, 1985; 1987; Zimmer ve ark., 1990). Nitelikim bu çalışmada da tüm hayvanların beyinlerinin çeşitli bölgelerinde ve Gasserian ganglionunda intraselüler ve/veya ekstraselüler viral antijen ile bazı olgularda inkluzyon cisimcığının görülmesi de bunu kanıtlamıştır. Bununla birlikte, rutin olarak likse edilen materyalden hazırlanan kesitlerde, antijen denature olacağından reaksiyon tespiti edilememiş ve likzasyonun uzunluğu oranında antijenin kaybolacağı bildirilmiştir (Schneider, 1964a; Schaal, 1968). Palmer ve ark. (1985), 4 yıl boyunca sakladıkları dokuların histopatolojik incelemesinde yangısal reaksiyon ve Negri cisimcigi görüp kuduz pozitif kabul etmelerine rağmen, IF ile her zaman pozitif sonuç elde edememişlerdir. Fischman (1969), parafinde bloklanan ve +4°C'de saklanan dokularda virusun 5 aydan fazla antijenik özelliğini koruduğunu ileri sürmüştür. Çalışmada kullanılan 1980-Ağustos 1996 yıllarına ait 30 adet arşiv doku bloklarının 27 adedinde yangısal reaksiyona ve bunlardan 26 adedinde inkluzyon cisimciklerine rastlanmasına rağmen yapılan IP yöntem ve önceki araştırmalara uyumlu olarak IF yöntem ile viral antijen bulunamamıştır.

İmmunoiresan yöntemi aracılığı ile viral antijenin beyinde komu ammonis, cerebellum, medulla oblongata ve ponslaki ganglion hücrelerinde yerleştiği belirtilmiştir (Schaal ve Schaal, 1968; Schneider, 1964b). Fischman (1969), cerebellumun moleküller kalı boyunca, komu ammonis, beyin stemi ile medulla spinalis nöronlarında pozitif alanlar bulmuştur. Çalışmada literatür verilerine uygun olarak tüm hayvanların komu ammonisinin piramidal ve polimorf sinir hücrelerinde, cerebellumun

Purkinje hücreleri ve stratum granulosa sinir hücrelerinde, cerebellar pedinkül, kollikulus rostralis, talamus, pons cerebri, nukleus caudatus, medulla oblongata ve medulla spinalis'teki nöronların perikaryon, akson ve dendritlerinde rastlanmıştır. Viral antijenler, genelde tüm beyin kesitlerinde ekstrasellüler olarak da görülmüştür. Ancak literatür-deki gibi cerebellumun moleküller katında rastlanmamıştır.

Sinir sistemi dışında IF pozitiflik oranının parotiste % 90'a (Schaaf, 1968), özellikle yüz densed kıl follikül epitellerinde olmak üzere deride % 100'e varlığına (Blenden, 1974; Blenden ve ark., 1983) degniñılmıştır. Ayrıca bunların çevresindeki sinir ağlarında da viral antijen varlığından söz edilmiştir (Correa-Giran ve ark., 1970; Blenden ve ark., 1983; Fekadu ve Shaddock, 1984). Farelerde deneysel enfeksiyon sonucuna göre komeada % 36-71.4 olduğu belirtilmiştir (Schneider, 1969; Fekadu ve Shaddock, 1984). Ancak bunun aksını belirten olaylarla da karşılaşılmıştır. Zimmerman (1971), sinir sistemi ve tükürük bezleri dışında kornea, diğer doku ve organlarda rastlanmadığını, üstelik olmuş hayvanlarda nonspesifik floresan veren partiküller yüzünden komeadan yanlış sonuç alıñacagini kaydetmiştir. Viral antijenin dil tükürük bezleri sınırlarında çok seyrek olduğuna dalaç, böbrek, karaciğer, meme dokusu, kahverengi pigmentli yağ dokusunda ise hiç bulunmayacağına ilgili kayıtlarla da karşılaşılmıştır (Fischman, 1969). Immuno floresan incelemede, birer olguda kulak derisinin kıl follikülü epitelleri ile parotis bezinde, 2 olguda gözün retinal sınırları dışındaki organ ve dokularda viral antijenin görülememesi aynı doğrultudaki araştırmaları düşündürmüştür. İncelenen olgular farklı olmakla birlikte, erken dönemde öldürülən hayvanlarda beyin stemi dışında viral antijenin tesbit edilemeyecegi kaydı da virusun daha çok nerede aranması gerektiğini aydınlatmıştır.

Immunoperoksidaz yöntemi kuduzda ilk defa Atanasiu ve ark. (1971) tarafından kullanılmıştır. Beyin ömeklennin parafin bloklardan hazırlanan kesitlerde, bu yöntem uygulanarak % 87-96 (Anjaria ve Jhala, 1985), % 95.3 (Kotwal ve Narayan, 1985; 1987), % 98 (Zimmer ve ark., 1990) oranında pozitif sonuç alınmıştır. Fekadu ve ark. (1988a) ile Hamir ve ark. (1992), medulla spinalis ve Gasserian ganglionundan hazırladıkları parafin kesitlerine bu yöntemin değişik bir modifikasiyonu olan ABC yöntemini uygulayarak nöron sitoplazmasıyla uzantılarında viral antijen ve inkluzyon cisimcikleri saptamışlardır. Zimmer ve ark.

(1990) kaydedilen bölgelere pons ve medulla oblongatayı, Sinchaisri ve ark. (1992) ise talamus nöronlarını ilave etmişlerdir. Viral antijene karşı amonisin özellikle piramidal, cerebellumda da Purkinje hücreleriyle stratum granulozumunda ve glia hücrelerinin etrafında rastlanmıştır (Fekadu ve ark., 1988a; Sinchaisri ve ark., 1992). Bunların tuğla kırmızısı renkte, diffuz, çoğunlukla granüler görünümdede viral antijen veya normal ışık mikroskopunda belirlenen formdaki inkluzyon cisimcikleri halinde nöronların perikaryon, dendrit ve aksonlarında lokalize oldukları belirtilmiştir. Bu bulgulara uyumlu olarak çalışmada da IF'de olduğu üzere IP'de de her hayvan beyinin değişik bölgelerindeki nöronların sitoplazmasında ve ayrıca IF'den farklı olarak cerebellum'un glia hücreleri çevresinde ve 9 olayda da Gasserian ganglionunda kuduz viral antijeni ve/veya inkluzyon cisimcikleri saptandı. Ancak literatürlerin (Charlton ve ark., 1988; Feiden ve ark., 1988; Fekadu ve ark., 1988a) aksine leptomeningeal hücreler, ependimal ve pleksus hücreleri, damar endotel hücreleri, perivasküler lenfositler ve spongöz değişiklikler saptanan beyin bölgelerinde viral antijenlere rastlanmamıştır.

Bu yöntemle sinir sistemi dışındaki organ ve dokularda da viral antijenler saptanmıştır. Balachandran ve Charlton (1994), viral antijenin submandibular tükürük bezlerinde ve intersitisyal dokudaki ganglionlar ile sinir demetlerinde, adrenallerin kortiko-medullar sınırlarında ve buradaki kromaffin hücreleri ile intersitisyal sinir fibrillerinde ve ayrıca göz kornea epitelinde özellikle de basal hücrelerde görülmüşlerdir. Yine Balachandran ve Charlton (1994) ağız bölgesi derisinin özellikle stratum bazale hücreleriyle kıl folliküllerinde IP pozitif viral antijenler bulmuşlardır. Ayrıca parotis bezi epitelleriyle ganglion hücrelerinde, pankreas ve bağırsakta da aynı şekilde viral antijen ve inkluzyon cisimcigi saptanmıştır (Fekadu ve ark., 1988a). Fekadu ve Shaddock (1984) antijen pozitifliğinin deride % 36.8 olduğunu, fakat tükürük bezlerinde saptanan virusun, deride de her zaman bulunmayacağı kanısına varmışlardır. Çalışmada da literatür verilerini destekler nitelikte 6 olguda adrenal medulladaki kromaffin hücrelerinde, biri intramural ganglionlarında olmak üzere 2 olguda submandibular tükürük bezi epitellerinde ve yine biri komeada olmak üzere 2 olguda göz retinasının sinir hücreleri ve tellerinde, kornea epitellerinde, trakeyanın kinosilyumları ve epitel hücreleri arasında, birer olguda kulak derisi kıl follikülü epitellerinde, parotis tükürük bezi ve kanal epithellerinde, bağırsak

submukozası sınırlı pleksuslarında, midenin presipal hücrelerinde, idrar kesesi epitellerinde, burun ve ağız mukozası ile burun respiratorik mukozasının sınırlı tellerinde rastlanmıştır.

Kuduz tanısı amacıyla sinir sisteminin incelenmesinde yangışal olayların Negri cisimciğinin bulunması halinde değer ilade ettiği görülmüştür. İkişer olayda komu ammonis ve cerebellum, 5 olayda talamus, 8 olayda pons, 9 olayda kollikulus rostralis ile nukleus kaudatusla, 10 olayda da medulla oblongata ve medulla spinaliste inkluzyon cisimciklerine rastlanmamış, bunların tek tek incelenmesi halinde kuduz tanısının yapılamayacağını göstermiştir. Ancak bu bölgelerde, IF ve IP yardımıyla değişik derecede kuduz virus antijeni saptanmasıyla hastalığın varlığı tanımlanmıştır. Her iki yöntemin kendi aralarında yapılan karşılaştırılmasında ise komu ammonis, cerebellum, talamus, pons, kollikulus rostraliste IP pozitifliğinin IF'den daha fazla olduğu dikkati çekmiştir. Medulla spinalis ve nukleus kaudatusla immunpozitiflik ikişinde de orta derecede görülmüştür. Medulla oblongatada IP pozitiflik yine orta derecede elde edilirken, IF zayıf immun reaksiyon ilesbi edilmişdir. Buna karşılık Gasserian ganglionunda IP boyamada zayıf veya orta şiddette reaksiyon elde edilirken IF'de kuvvetli pozitif görülmüştür. Yine aynı dokuda IP negatif çıkan ve Negri cisimciği de görülmeyen bir hayvanda IF ile yeterli oranda pozitif sonuca varılmıştır. Bu son durum, IP boyamada yapılan bir hatayı akla getirmişse de diğer olayların da bu yöntemde zayıf veya orta derecede reaksiyon verdiği göz önüne alınırsa Gasserian ganglionunun IF yöntemine daha yatkın olduğu kanısı uyanmıştır.

Ote yandan, IP ve IF yöntemlerinin diğer organ ve dokulara uygulanmasında, literatür bildirimlerine benzer şekilde çoğunlukla negatif sonuç alınmıştır. İki yöntemin bu açıdan, sağlıklı değerlendirme şansına kavuşlamamıştır. Bununla birlikte 2 hayvanda submandibular lükürük bez ve parotiste yangışal reaksiyon ile birlikte IP incelenmede viral antijen saptanmış, IF'de ise yalnız birinde parotis pozitif bulunmuştur. Yine 1 hayvanda mide, barsak, idrar kesesi, kulak ve ağız çevresindeki deri, ağız ve burun mukozası, trakea ve bunun dışındaki 5 hayvanda da adrenler pozitif bulunurken; IF'de 1 hayvanın kulak ve ağız çevresinde zayıf pozitiflik dışında aynı organ ve dokular negatif bulunmuştur. Birbirile tam örtüşmeyen bu noktalar dikkate alındığında, IF yönteminin IP kadar duyarlı olmadığı görülmüştür.

İmmunoforesan yöntemi uygulamak için preparatların titizlikle hazırlanması (Schaaf, 1968) yanında, özel bir mikroskop ve deneyimli bir göze gereksinim olması (Vandevelde ve ark., 1983; Jayakumar ve ark., 1989; Haines ve Clark., 1991), boyanmış preparatların saklanma imkanının olmaması (Haines ve Clark, 1991; Trimarchi ve Debbie, 1991) bu yöntemin dezavantajları arasında yer almıştır. Immunoperoksızda yöntemi ise bu dezavantajları ortadan kaldırın bir başka immunhistokimyasal yöntem olarak tanımlanmıştır (Atanasio ve ark., 1971; Genovese ve Andral, 1978; Anjaria ve Jhala, 1985). Bu yöntemin de post mortem materalerde kuduzun rutin tanısında spesifik, kolay ve daha uzun sürede (Genovese ve Andral, 1978) de olsa iyi sonuç verdiği bildirilmiştir (Heyderman, 1979; Das ve ark., 1985; Jackson, 1991). Yöntemin, immunoforesan kadar hassas olduğu (Genovese ve Andral, 1978) ve bu yöntemin yerini alabilecegi (Anjaria ve Jhala, 1985) de vurgulanmıştır. Immunoperoksızda yöntemin parafin ve döndurma mikrotomu kesitleri, smearlar ve tuşeler dahil birçok ömeklerde yapısal elemanların görülmesine de izin verdiği bilinmektedir. Yöntemde kullanılan reagentler uygulama sırasında yapılan işlemlerden etkilenmez. Normal ışıkta çok daha iyi görülebilin bir renk verir (Bourne, 1983; Noorden ve Polak, 1983). Doku ömeklerinde küçük miktarlarda bulunan endojen hidrojen peroksit aktivitesi kolaylıkla giderilir (Bourne, 1983). Nitekim bu çalışmada da kesitler % 1.2 ve % 3'lük hidrojen peroksit tutularak bu aktivite eradik edilmiştir. Avidin-biotin immunoperoksızda yönteminin ise IP yöntemler içinde daha duyarlı olduğu ve özellikle parafin kesitlerde daha iyi sonuç verdiği kaydedilmiştir (Noorden ve Polak, 1983; Fekadu ve ark., 1988a). Bu çalışmada da avidin-biotin peroksızda yöntemi kullanılmıştır. Ancak prosedürün uygulanması sırasında hiperimmun serumu ve hidrojen peroksit iki kere damlatarak ve bütün işlemleri ısıda yaparak daha iyi sonuç alınmıştır.

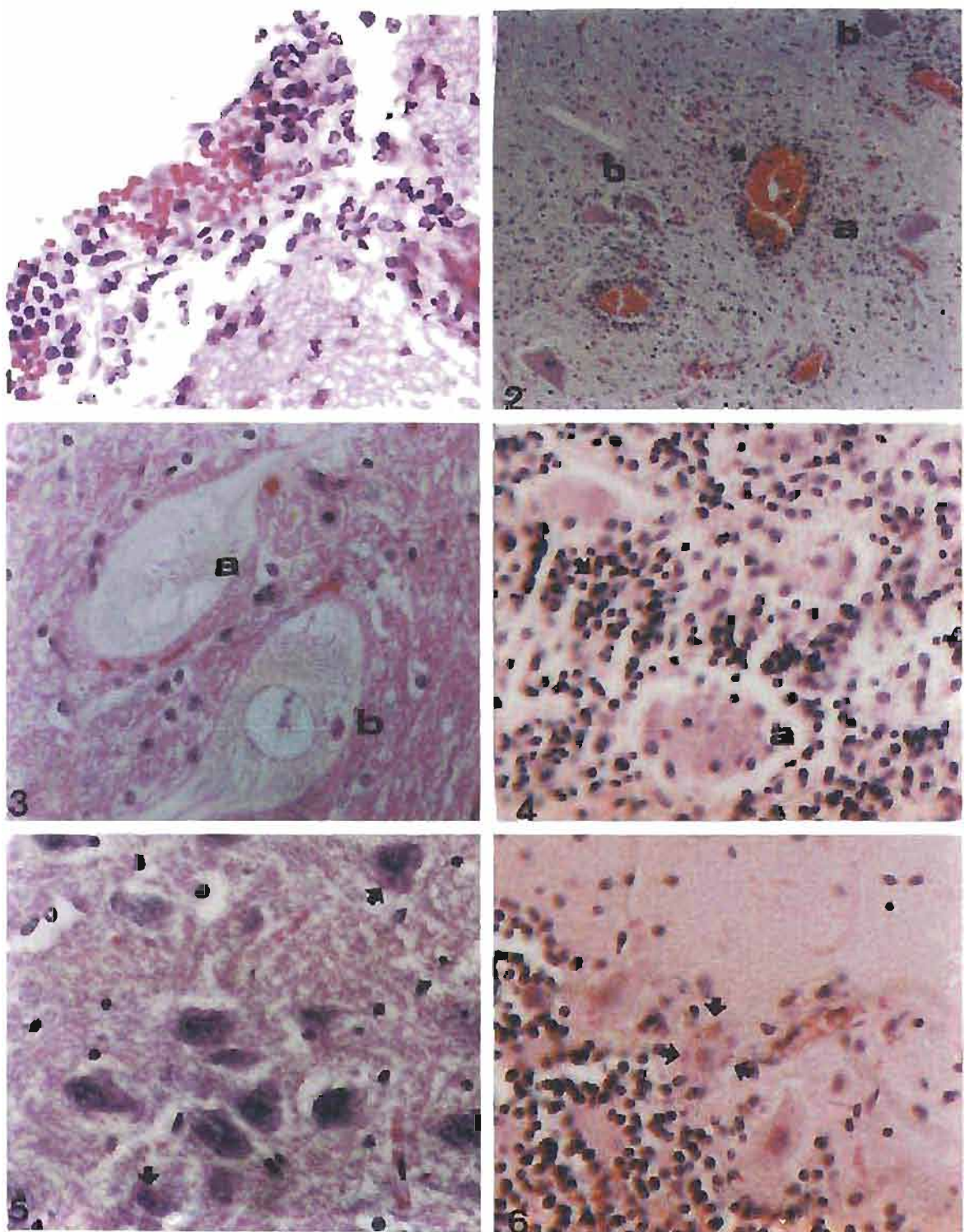
Sonuç olarak, çalışmada kullanılan üç yöntem kendi arasında karşılaştırıldığında IP yönteminin, dokudaki virus antijeninin zarar görmemesi şartıyla, formol testelli parafin dokularda kullanılabilmesi, preparatların uzun süre saklanması ve ışık mikroskopunda incelenmesi, hassas olması ve çok yüksek dilüsyonlarının bile güvenilir sonuç vermesi nedeniyle daha avantajlı olduğu görülmüştür. Kuduzun predileksiyon yeri olan sinir sistemi organlarının dışında, diğer organlardan da pozitif sonuç elde edilmesi patoloji laboratuvarlarında IP yönteminin güvenle kullanılabileceği kanısını uyandırılmıştır.

Table 1. Sinir sisteminin değişik bölgelerinden alınan örneklerde histopatolojik (HP), immunoperoksidaz (IP) ve immunofluoresan (IF) yöntemlerinin sonuçları

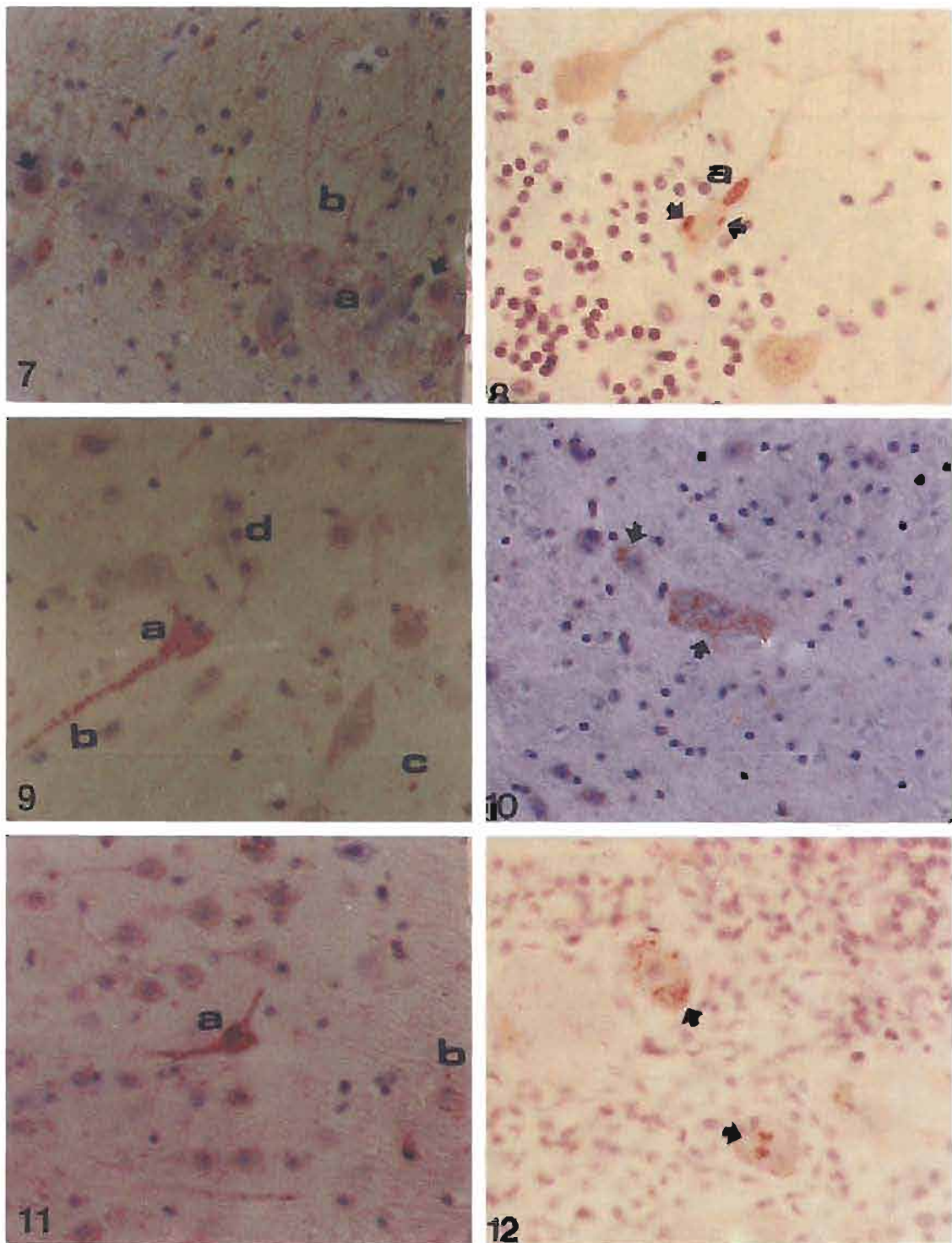
Beyin bölgeleri	Kornu ammonis			Serebellum			Talamus			Pons cerebri			Kollikulus rostralis			Medulla oblongata			Medulla spinalis			N.kaudatus			Gasserian ganglionu		
Yapılan incellemeler	HP	IP	IF	HP	IP	IF	HP	IP	IF	HP	IP	IF	HP	IP	IF	HP	IP	IF	HP	IP	IF	HP	IP	IF	HP	IP	IF
Trıton hayvan	+1	+3	+2	+2	+3	+2	+2	+3	+2	+2	+3	+2	+2	+3	+2	+2	+2	+1	+2	+2	+1	+2	+2	+1	+3	+2	+3
	+2			+1			+1			-			-			-			+1			-			+1		
2nolu hayvan	-1	+3	+2	+2	+3	+2	+2	+3	+2	+2	+3	+2	+2	+3	+2	+2	+2	+1	+1	+2	+1	+1	+2	+2	+3	+2	+3
	+2			+2			+1			-			-			-			-			-			+1		
3 nolu hayvan	+1	+3	+2	+2	+3	+2	+2	+3	+2	+2	+3	+2	+2	+3	+2	+2	+2	+1	+1	+2	+2	+1	+2	+2	+3	+2	+3
	+2			+1			+1			-			-			-			-			-			-		
4nolu hayvan	+1	+3	+2	+2	+3	+2	+2	+3	+2	+2	+3	+2	+2	+3	+2	+2	+2	+1	+1	+2	+2	+1	+2	+2	+3	+1	+3
	+2			+1			-			-			-			-			-			-			-		
5 nolu hayvan	+1	+3	+2	+2	+3	+2	+2	+3	+2	+2	+3	+2	+2	+3	+2	+2	+2	+1	+1	+2	+2	+1	+2	+2	+3	+1	+3
	+2			-			-			-			-			-			-			-			-		
6 nolu hayvan	+1	+3	+2	+2	+3	+2	+2	+3	+2	+2	+3	+2	+2	+3	+2	+2	+2	+1	+1	+2	+2	+1	+2	+2	+3	+2	+3
	+1			-			-			-			-			-			-			-			-		
7 nolu hayvan	+1	+3	+2	+2	+3	+2	+2	+3	+2	+2	+3	+2	+2	+3	+2	+2	+2	+1	+1	+2	+2	+1	+2	+2	+3	+2	+3
	+1			-			-			-			-			-			-			-			-		
8 nolu hayvan	+1	+3	+2	+2	+3	+2	+2	+3	+2	+2	+3	+2	+2	+3	+2	+2	+2	+1	+1	+2	+2	+1	+2	+2	+3	+2	+3
	+1			-			-			-			-			-			-			-			-		
9 nolu hayvan	+1	+3	+2	+2	+3	+2	+2	+3	+2	+2	+3	+2	+2	+3	+2	+2	+2	+1	+1	+2	+2	+1	+2	+2	+3	+2	+3
	-			+1			-			-			-			-		-				-			-		
10 nolu hayvan	+1	+3	+2	+2	+3	+2	+2	+3	+2	+2	+3	+2	+2	+3	+2	+2	+2	+1	+1	+2	+2	+1	+2	+2	+3	+1	+3
	-			+1			-			-			-			-		-				-			-		
Hayvan sayısı (adet)	10	10	10	10	10	10	10	10	10	10	10	10	10	10	10	10	10	10	10	10	10	10	10	10	10	9	10
	8			8			3			0			1			0		0			1			2			

HP : Ustakutur  
Alt satır : Inkluzyon cisimcikleri

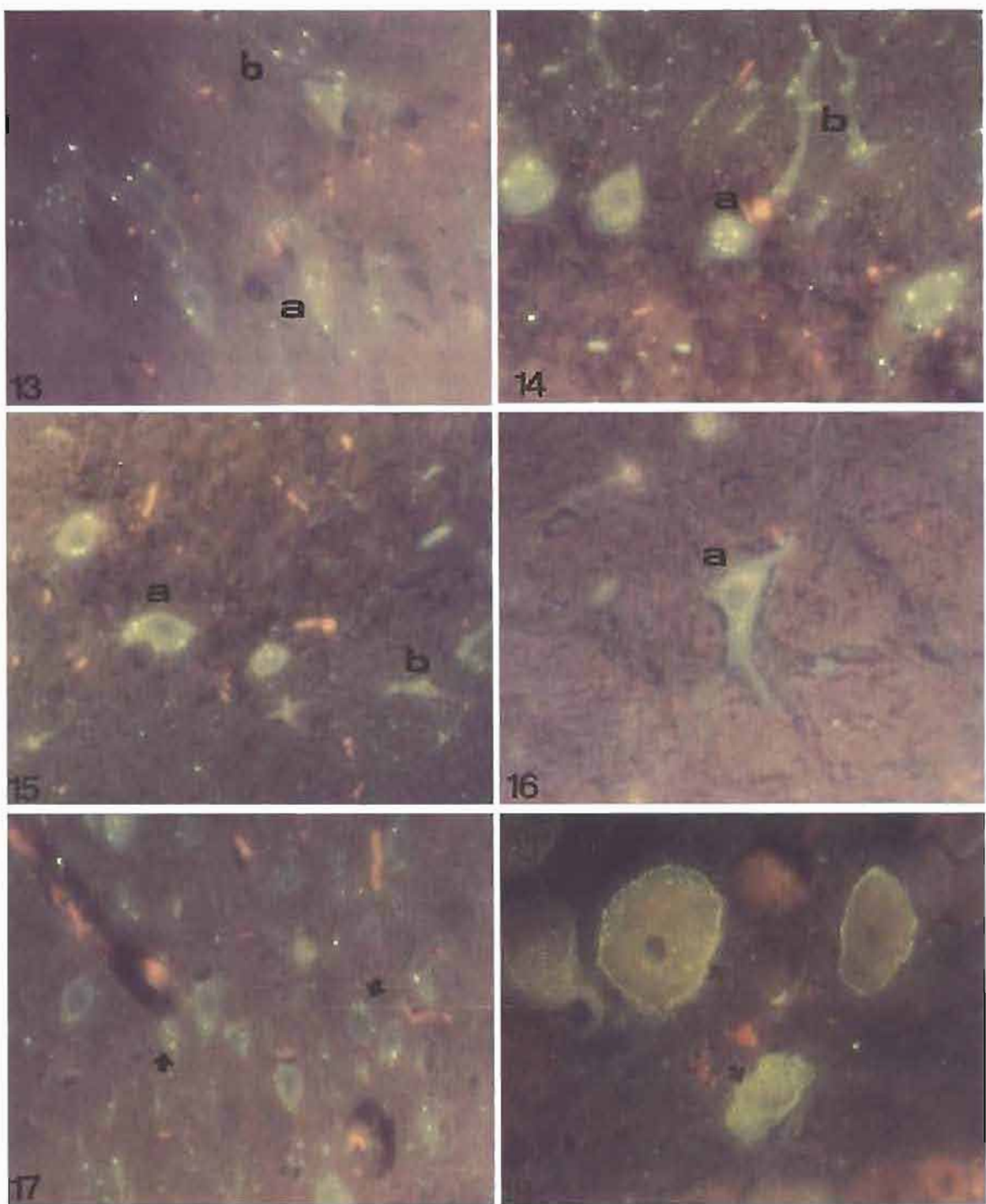
- +1. Hafif şiddete : Yangın, inkluzyon cisimcığı, viral antijen yoğunluğu
- +2. Orta şiddete : "
- +3. Sıddetli : "
- (-) : Yangın, inkluzyon cisimcığı ve viral antijen saptanamadı.



Şekil 1. Nukleus caudatus. Hiperemik leptomeningeal damarlar çevresinde mononükleer hücre infiltrasyonu. HE, X400. Şekil 2. Talamus. Nöropilde gliosis (a), nöron dejenerasyonu ve nekrozu ile nöronofazi (b), perivasküler hücre infiltrasyonları (ok). HE, X100. Şekil 3. Kollikulus rostralis. Dejenere nöronlarda vakuoletler (a) ve inklazyon cisimcığı (b). HE, X400. Şekil 4. Gasserian ganglionu. Nöronofazi (a) ve bağdokuda mononükleer hücre infiltrasyonları (ok). HE, X400. Şekil 5. Komu ammonis. Piramidal hücrelerde inklazyon cisimcikleri (oklar). HE, X400. Şekil 6. Serebellum. Purkinje hücrelerinde inklazyon cisimcikleri (oklar). HE, X320.



Şekil 7. Koynu ammonis. Piramidal hücre sialoplasması (a) ve aksonlarında (b) IP pozitif viral antijenler, sialoplasmada inkluzyon cisimcikleri (oklar). IP yöntem, X250. Şekil 8. Serebellum. Pürkinje hücrelerinde IP pozitif inkluzyon cisimcigi (a) ve viral antijenler (oklar). IP yöntem, X400. Şekil 9. Talamus. Nöron sialoplasması (a), uzantıları (b) ve ekstrasellüler (c) IP pozitif viral antijenler. nöropilde inkluzyon cisimcigi (d). IP yöntem, X320. Şekil 10. Medulla oblongata. Nöron sialoplasmasında IP pozitif viral antijenler (oklar). IP yöntem, X320. Şekil 11. Nukleus kaudalitus. Nöron sialoplasması ve uzantıları (a) ile nöropilde (b) IP pozitif viral antijenler. IP yöntem, X250. Şekil 12. Gasserian ganglionu. Nöron sialoplasmasında IP pozitif viral antijenler (oklar). IP yöntem, X400.



Şekil 13. Kornu ammonis. Piramidal hücre sitoplazması (a) ve aksonlarında (b) IF pozitif viral antijenler, IF yöntem, X320. Şekil 14. Serebellum. Pürkinje hücrelerinin sitoplazma (a) ve aksonlarında (b) IF pozitif viral antijenler, IF yöntem, X320. Şekil 15. Talamus. Nöron sitoplazması (a) ve aksonlarda (b) IF pozitif viral antijenler, IF yöntem, X320. Şekil 16. Medullia oblongata. Nöron sitoplazmasında perinukleer IF pozitif viral antijenler (a), IF yöntem, X320. Şekil 17. Nukleus kaudatus. Nöron sitoplazması ve uzantılarında IF pozitif viral antijenler (oklar), IF yöntem, X320. Şekil 18. Gasserian ganglionu. Nöron sitoplazmasında IF pozitif viral antijenler (oklar), IF yöntem, X320.

## Kaynaklar

- Ademogullari, N. (1992). Kuduz leşhisinde kullanılanlar metodlarının (Sellers boyama, floresan antikor teknigi, histopatolojik muayene, fare inokulasyonu) karşılaştırılması. Uzmanlık Tezi, İstanbul.
- Andrewes, C.H., Wallon, J.R. (1990). Viral and Bacterial Zoonoses. In "Animal and Human Health" Ed. Brander, G.C., Bailliere Tindall. London.
- Anjaria, J.M., Jhala, C.I. (1985). Immunoperoxidase reaction in diagnosis of rabies. Int. J. Zoonoses., 12, 267-275.
- Alanasiu, P., Dragonas, P., Tseng, H., Harbi, A. (1971). Immuno-peroxidase nouvelle technique spécifique de mise en évidence de l'antigène rabique intra- et extracellulaire en microscopie optique. Ann. Inst. Pasteur., 121, 247-250.
- Balachandran, A., Charlton, K. (1994). Experimental rabies infection of nonnervous tissues in skunks (*Mephitis mephitis*) and foxes (*Vulpes vulpes*). Vet. Pathol., 31, 93-102.
- Barnard, B.J.H., Voges, S.F. (1992). A simple technique for the rapid diagnosis of rabies in formalin-preserved brain. Onderstepoort J. Vet. Res., 49, 193-194.
- Blenden, D.C. (1974). Diagnosis of rabies in various species by immunofluorescent staining of skin. JAVMA, 165, 735.
- Blenden, D.C., Bell, J.F., Tsao, A.T., Umoh, J.U. (1983). Immunofluorescent examination of skin of rabies-infected animals as a means of early detection of rabies virus antigen. J. Clin. Microbiol., 18, 631-636.
- Blood, D.C., Radoslils, D.M., Henderson, J.A. (1983). "Veterinary Medicine". 6<sup>th</sup> edition. Ballière Tindall. London.
- Bourne, J.A. (1983). "Handbook of Immunoperoxidase Staining Methods". Dako Corporation, Santa Barbara.
- Bundza, A., Charlton, K.M. (1988). Comparison of spongiform lesions in experimental scrapie and rabies in skunks. Acta Neuropathol., 76, 275-280.
- Buxton, A., Fraser, G. (1977). "Rhabdoviruses Animal Microbiology." Black Well Scientific Publication, Edinburgh.
- Castillon, J.R.F. (1973). La histopatología del corazón de ratones blancos inoculados con virus rabico. Rev. Med. Vet., 54, 101-102.
- Charlton, K.M. (1984). Spongiform Lesions. Acta Neuropathol., 63, 198-202. Campbell, J.B., Charlton, K.M. (1988). The pathogenesis of rabies. In "Developments in Veterinary Virology". Ed. Campbell, J.B., Charlton, K.M., Kluwer Academic Publishers, Massachusetts (Alıntılmıştır).
- Charlton, K.M. (1988). The pathogenesis of rabies. In "Developments in Veterinary Virology". Ed. Campbell, J.B., Charlton, K.M., Kluwer Academic Publishers, Massachusetts.
- Correa-Giran, E.P., Allen, R., Sulkin, S.E. (1970). The infectivity and pathogenesis of rabies virus administered orally. Am. J. Epidemiol., 91, 203-215.
- Das, S.K., Sarkar, P., Sen, G.P. (1985). Evaluation of immunoperoxidase test in routine diagnosis of rabies in animals. Indian J. Anim. Sci., 55, 979-982.
- Faiden, W., Kaiser, E., Gerhard, L., Dahme, E., Glyslorf, B., Wandeler, A., E. (1988). Immunohistochemical staining of rabies virus antigen with monoclonal and polyclonal antibodies in paraffin tissue sections. J. Vet. Med. B., 35, 247-255.
- Fekadu, M., Shaddock, J.H. (1984). Peripheral distribution of virus in dogs inoculated with two strains of rabies virus. Am. J. Vet. Res., 45, 724-729.
- Fekadu, M., Chandler, F.W., Harrison, A.K. (1982). Pathogenesis of rabies in dogs inoculated with an Ethiopian rabies virus strain. Immunofluorescence, histologic and ultrastructural studies of the central nervous system. Arch. Virol., 71, 109-126.
- Fekadu, M., Greer, P.W., Chandler, F.W., Sanderlin, D.W. (1988a). Use of the avidin-biotin peroxidase system to detect rabies antigen in formalin-fixed paraffin-embedded tissues. J. Virol. Methods., 19, 91-96.
- Fekadu, M., Shaddock, J.H., Chandler, F.W., Sanderlin, D.W. (1988b). Pathogenesis of rabies virus from a Danish bat (*Eptesicus seratus*): Neuronal changes suggestive of spongiosis. Arch. Virol., 99, 187-203.
- Fischman, H.R. (1969). Fluorescent antibody staining of rabies-infected tissues embedded in paraffin. Am. J. Vet. Res., 30, 1213-1221.
- Foley, G.L., Zachary, J.F. (1995). Brief communications and case reports: rabies-induced spongiform change and encephalitis in a healer. Vet. Pathol., 32, 309-311.
- Genovese, M.A., Andral, L. (1978). Comparaison de deux techniques utilisées pour le diagnostic de la rage: L'immunofluorescence et l'immunoperoxidase. Rec. Med. Vet., 154, 667-671.
- Goldwasser, R.A., Kissling, R.E. (1958). Fluorescent antibody staining of street and fixed rabies virus antigens. Proc. Soc. Exp. Biol. Med., 98, 219-223.
- Haines, D.M., Clark, E.G. (1981). Enzyme immuno-histochemical staining of formalin-fixed tissues for diagnosis in veterinary pathology. Can. Vet. J., 32, 295-302.
- Hamir, A.N., Rupprecht, C.E. (1990). Absence of rabies encephalitis in raccoon with concurrent rabies and canine distemper infections. Cornell Vet., 80, 197-201.
- Hamir, A.N., Moser, G., Rupprecht, C.E. (1992). Morphologic and immunoperoxidase study of neurologic lesions naturally acquired rabies of raccoons. J. Vet. Diagn. Invest., 4, 369-370.

- Hamir, A.N., Moser, G., Fu Z.F., Dietzschold, B., Rupprecht, C.E. (1995). Immunohistochemical test for rabies: identification of a diagnostically superior monoclonal antibody. *Vet. Rec.*, 136, 295-296.
- Heyderman, E. (1979). Immunoperoxidase technique in histopathology: applications, methods, and controls. *J Clin. Pathol.*, 32, 971-978.
- Jackson, A. (1991). Biological basis of rabies virus neurovirulence in mice: comparative pathogenesis study using the immunoperoxidase technique. *J. Virol.*, 65, 537-540.
- Jackson, A., Reimer, D.L., Ludwin, S.K. (1989). Spontaneous recovery from the encephalomyelitis in mice caused by street rabies virus. *Neuropathol. Appl. Neurobiol.*, 15, 459-475.
- Jayakumar, R., Ramadass, P., Baghavan, N. (1989). Comparison of enzyme immunodiagnosis with immunofluorescence for rapid diagnosis of rabies in dogs. *Zbl. Bakter.*, 271, 501-503.
- Johnson, R.T. (1983). "Viral infections of the nervous system." Raven Press, Newyork, p.: 271-193. Fekadu, M., Shaddock, J.H., Chandler, F.W., Sanderlin, D.W. (1988b). Pathogenesis of rabies virus from a Danish bat (*Eptesicus seratus*): Neuronal changes suggestive of spongiosis. *Arch. Virol.*, 99, 187-203 (Alınmışlığı).
- Jones, T.C., Hunt, R.D. (1983). "Veterinary Pathology". 5<sup>th</sup> edition. Lea&Febigar, London.
- Jubb, K.V.F., Kennedy, P.C., Palmer, N. (1985). "Pathology of Domestic Animals". 2<sup>nd</sup> edition. Academic Press, London.
- Kawamura, A. (1977). "Fluorescent Antibody Techniques and Their Applications". 2<sup>nd</sup> edition. University of Tokyo Press, Tokyo.
- Koprowski, H. (1973). "The mouse inoculation test. In Laboratory Techniques in rabies". 3<sup>rd</sup> edition. Ed. Kapitan, M.M. and Koprowski, H., WHO, Geneva.
- Kotwal, S., Narayan, K.G. (1985). Direct immunoperoxidase test in the diagnosis of rabies-an alternative to fluorescent antibody test. *Int. J. Zoonoses.*, 12, 80-85.
- Kotwal, S., Narayan, K.G. (1987). Comparative evaluation of ELISA, FAT and immunoperoxidase tests in the diagnosis of rabies. *Indian J. Anim. Sci.*, 57, 65-71.
- Levaditi, C., Atanasiu, P., Gamet, A., Guillion, J.C. (1971). Rabies diagnosis: Problems raised by immunofluorescence and immunoperoxidase methods. *Arch. Inst. Pasteur Alg.*, 49, 75-83.
- Luna, L.G. (1960). "Manual of Histologic and Special Staining Technics". McGraw-Hill Book Company, New York.
- Marie, G.S. (1962). A paraffin embedding technique for studies employing immunofluorescence. *J. Histochem.*, 10, 250-256.
- Meerdink, G. (1969). Rabies diagnosis: Fluorescent antibody technique. *Iowa State Univ.*, 1, 20-24.
- Negri, A. (1903). Beitrag zum studium der aetiologie der tollwut. *Z. Hyg. Infektionskr.*, 44, 519. In "Natural History of Rabies" Vol. 1, Chapter 13, p.: 244. Ed. Baer, G.M. Academic Press, N.Y. Anjaria, J.M., Jhala, C.I. (1985). Immunoperoxidase reaction in diagnosis of rabies. *Int. J. Zoonoses.*, 12, 267-275 (Alınmıştır).
- Ninomiya, S. (1955). Histopathological studies on the salivary glands of rabid dogs with special reference to the parotid and mandibular glands. *Gunma J. Med. Sci.*, 4, 117-127.
- Noorden, S., Polak, J.M. (1983). Immunocytochemistry today. In "Immunocytochemistry". Ed. M. Julia Polak, Susan Van Noorden, Wright-PSG, London.
- Palmer, D.G., Ossent, P., Suter, M.M., Ferrari, E. (1985). Demonstration of rabies viral antigen in paraffin tissue sections: comparison of the immunofluorescence technique with the unlabeled antibody enzyme method. *Am. J. Vet. Res.*, 46, 283-286.
- Schaaf, J. (1968). Technik und Zuverlässigkeit der mikroskopischen Diagnose der Tollwut. II. Antigen-Nachweis mittels Fluoreszenz - Antikörper - Technik. *Zbl. Vet. Med.*, B 15, 249-258.
- Schaaf, J., Schaaf, E. (1968). Die Virusaktivierung bei Tollwut. *Dtsch. Tierärztl. Wschr.*, 75, 315-323.
- Schneider, L.G. (1969). The cornea test: a new method for the intra-vitam diagnosis of rabies. *Zbl. Vet. Med.*, B 16, 24-31.
- Schneider, L.G. (1964a). Erfahrungen mit fluoreszenzmarkierten Antikörpern bei der routinemäßigen Laboratoriumsdiagnose der Tollwut. II. Mitteilung: Die fluoreszierende Antikörpertechnik. *Zbl. Vet. Med.*, B 11, 207-230.
- Schneider, L.G. (1964b). Erfahrungen mit fluoreszenzmarkierten Antikörpern bei der routinemäßigen Laboratoriumsdiagnose der Tollwut. II. Mitteilung. *Tierärztl. Umschau.*, 19, 502-509.
- Shannon, L.M., Poulton, J.L., Emmons, R.W., Woodie, J.D., Fowler, M.E. (1988). Serological survey for rabies antibodies in raptors from California. *J. Wildlife Dis.*, 24, 264-267.
- Sinchaitsi, T., Nagata, T., Yoshikawa, Y., Kei, C., Yamadauchi, K. (1992). Immunohistochemical and histopathological study of experimental rabies infection in mice. *J. Vet. Med. Sci.*, 54, 409-416.
- Sung, J.H., Hayano, M., Mastri, A.R., Okagaki, T. (1976). A case of human rabies and ultrastructure of the Negri body. *J. Neuropathol. Exp. Neurol.*, 35, 541-559.
- Tanzer, F. (1976). Kuduz hastalığının teşhisinde fluoresan antikor teknigi ile histopatolojik yoklamalarдан elde olunan sonuçların karşılaştırılması. *Şişli Çocuk Hastanesi Tıp Bülteni*, 2, 134-149. Ademoğulları, N. (1992). Kuduz teşhisinde kullanılan metodların (Sellers boyama).

fluoresan antikor tekniği, histopatolojik muayene, fare inokulasyonu) karşılaştırılması. Uzmanlık Tezi, İstanbul (Alınmıştır).

Trinarchi, C.V., Debbie, J.G. (1991). The fluorescent antibody in rabies. In "The Natural History of Rabies". Ed.: George M Baer; CRC Press, Boston.

Ulrich, K., Jacksch, W., Glawischnig, E. (1985). "Grundriss derspezialen pathologie und therapie der haustiere". Ferdinand Enke Verlag; 11. Auflage, Stuttgart.

Umoh, J.U., Ezekiel, C.D., Okoh, A.E.J. (1985). Immunofluorescent staining of trypsinized formalin by standard methods for 221 suspect animal cases in Nigeria. J. Hyg. (Camb.), 94, 129-134.

Vandervelde, M., Hugi, E., Isler, A. (1983). Histological immunoenzyme techniques in canine tissues: evaluation

of various methods and modifications. Res. Vet. Sci., 34, 193-198.

Wachendörfer, G. (1967). Zur Frage der Überlebensdauer des Tollwutvirus in fixierten und mit fluoresceinmarkierten Antikörpern "gefarbten" Präparaten. Berl. Münch. Tierarztl. Wschr., 80, 127-130.

Woolf, A., Smith, C.G. (1986). Pathologic findings in rabies-suspect, random-source and accidentally killed skunks. JAVMA, 289, 1089-1091.

Zimmermann, T. (1971). Zur Brauchbarkeit des Corneatestes bei der Tollwutdiagnose. Berl. Münch. Tierärztl. Wschr., 84, 172-174.

Zimmer, K., Weigand, D., Manz, D., Frost, J.W., Reinacher, M., Frese, K. (1990). Evaluation of five different methods for routine diagnosis of rabies. J. Vet. Med., B 37, 392-400.